

© 1992

ВЛИЯНИЕ ОДНООСНОГО СЖАТИЯ НА ФАЗОВЫЕ ПЕРЕХОДЫ СЕГНЕТОЭЛЕКТРИКОВ $\text{Sn}_2\text{P}_2\text{S}_6$ И $\text{Sn}_2\text{P}_2\text{Se}_6$

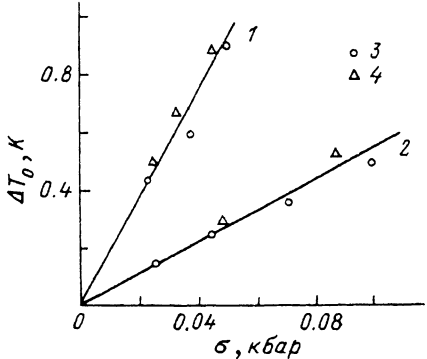
Ю. М. Высочанский, С. И. Перечинский, И. П. Приц, В. М. Ризак,
И. М. Ризак, А. А. Сейковская

Для собственных одноосных сегнетоэлектриков $\text{Sn}_2\text{P}_2\text{S}_6$ и $\text{Sn}_2\text{P}_2\text{Se}_6$ изучено влияние одноосного сжатия на температурные зависимости двупреломления и диэлектрической проницаемости. Сопоставлено влияние сжатия на сегнетоэлектрический фазовый переход (ФП) в $\text{Sn}_2\text{P}_2\text{S}_6$ и на ограничивающие несоразмерную (НС) фазу переходы в $\text{Sn}_2\text{P}_2\text{Se}_6$. Наблюдаемые барических скорости изменения температур ФП и интервала НС фазы согласуются с рассчитанными в приближении, учитываящем наличие наряда с точкой Лифшица и трикритической точки на диаграмме состояний исследованных кристаллов. Установлены изменения при замене серы на селен соотношения барических скоростей температур ФП для разных одноосных механических напряжений и слабая чувствительность НС фазы к сжатию вдоль оси модуляции структуры. Предположено, что эти проявления анизотропии связаны с особенностями линейного взаимодействия мягкой оптической и акустических фононных ветвей.

Разнообразие проявлений анизотропии свойств одноосных сегнетоэлектриков типа $\text{Sn}_2\text{P}_2\text{S}_6$ иллюстрируется тем, что при замещении серы на селен в ряду $\text{Sn}_2\text{P}_2(\text{Se}_x\text{S}_{1-x})_6$ при $x > 0.28$ возникает несоразмерная фаза с одной осью модуляции структуры, ориентированной вблизи кристаллографического направления [001] [1, 2]. Интересной особенностью НС фазы является наблюдаемый во всей области ее существования на диаграмме температура—состав «инварный» эффект [2], равенство нулю коэффициента теплового расширения вдоль направления [100], к которому близка ориентация вектора спонтанной поляризации. НС фаза в $\text{Sn}_2\text{P}_2\text{S}_6$ также может быть индуцирована гидростатическим сжатием [3]. Однако влияние на фазовые переходы в рассматриваемых кристаллах таких изотропных воздействий, как изменение концентрации твердого раствора или всестороннее сжатие, заметно отличается с ростом содержания селена при атмосферном давлении — последовательно достигается точка Лифшица ($x_{\text{Л}} \approx 0.28$) и виртуальная трикритическая точка ($x_{\text{ТК}} \approx 0.68$) [4], тогда как при сжатии $\text{Sn}_2\text{P}_2\text{S}_6$, согласно выполненному в [5] анализу экспериментальных данных, трикритическая точка предшествует точке Лифшица. Представляет интерес установление проявлений особенностей анизотропии НС фазы при анизотропных механических напряжениях. С этой целью в настоящей работе изучено влияние одноосных сжатий на температурные зависимости двупреломления и низкочастотной диэлектрической проницаемости кристаллов $\text{Sn}_2\text{P}_2\text{S}_6$ и $\text{Sn}_2\text{P}_2\text{Se}_6$.

Исследования двупреломления $\delta (\Delta n)$ проводились методом Сенармона. В качестве источника света служил лазер ЛГН-114 с длиной волны $\lambda = 0.63$ мкм. Диэлектрическая проницаемость изучалась с помощью моста переменного тока R5058. Исследовались образцы, выращенные методами газотранспортных реакций и Бриджмена. Они представляли собой рентгеновски ориентированные кубики размером $3 \times 3 \times 3$ мм. Декартовая ось Y совмещалась с направлением [010], вдоль которого направлена ось симметрии второго порядка. Оси X и Z лежали в плоскости симметрии моноклинной ячейки, причем ось X совпадала с направ-

Рис. 1. Барические сдвиги температур фазовых переходов кристалла $\text{Sn}_2\text{P}_2\text{S}_6$ при одноосном сжатии σ_{xx} (1) и σ_{yy} (2), полученные по данным измерений диэлектрической проницаемости (3) и двупреломления (4).



анализатора $\varphi \sim \delta (\Delta n)$ не хуже 30°.

При температуре фазового перехода T_0 наблюдается излом зависимости $\varphi (T)$. Увеличение σ_{11} и σ_{22} обуславливает сдвиг излома $\varphi (T)$ в область низких температур. При этом скорости понижения температуры ФП составляют -18 ± 1 и -5.5 ± 0.5 К/кбар для направлений X и Y соответственно. В то же время в пределах точности эксперимента не зафиксировано сдвига температуры ФП при сжатии в направлении оси Z . Это означает, что $dT_0/d\sigma_{33} < 1$ К/кбар. С использованием полученных данных определен объемный барический коэффициент $dT_0/dP = \sum_i dT_0/d\sigma_{ii} = -23.5 \pm 1$ К/кбар. Эта величина находится

в хорошем согласии со значением -22 ± 1 К/кбар, найденным непосредственно из эксперимента по гидростатическому сжатию $\text{Sn}_2\text{P}_2\text{S}_6$ [3].

Дополнительную информацию о барическом сдвиге температуры ФП дают исследования температурной зависимости диэлектрической проницаемости при разных значениях σ_{ii} . При увеличении давления максимум диэлектрической проницаемости сдвигается в область низких температур. Размытия аномалии при достигаемых значениях сжатия не наблюдается. Так же не обнаружено изменение константы Кюри—Вейсса. Барические скорости сдвига максимума $\varepsilon (T)$ хорошо согласуются с результатами измерений двупреломления (рис. 1).

На рис. 2 приведены температурные зависимости диэлектрической проницаемости кристаллов $\text{Sn}_2\text{P}_2\text{S}_6$. При T_i наблюдается симметричный максимум $\varepsilon (T)$, который сдвигается в область низких температур с ростом сжатия. В достигаемом диапазоне сжатий изменения вида аномалии $\varepsilon (T)$ при T_i не обнаружено. Барические коэффициенты сдвига температуры ФП из пара- в НС фазу при одноосном сжатии вдоль X и Y равны соответственно -4.4 ± 0.5 и -9 ± 1 К/кбар. При сжатии вдоль Z сдвига максимума $\varepsilon (T)$ не обнаружено. Обращает на себя внимание тот факт, что для $\text{Sn}_2\text{P}_2\text{S}_6$ $dT_i/d\sigma_{yy} > dT_i/d\sigma_{xx}$, тогда как для $\text{Sn}_2\text{P}_2\text{S}_6$, $dT_0/d\sigma_{yy} < dT_0/d\sigma_{xx}$.

В окрестности ФП с НС в сегнетофазу наблюдается скачок зависимости $\varepsilon (T)$ (рис. 2), по положению которого определялось T_c . С ростом σ_{ii} он сдвигается в область низких температур. Следует отметить, что наряду со сдвигом скачка наблюдается также размытие аномалии $\varepsilon (T)$: скорость понижения температуры максимума $\varepsilon (T)$ более чем в два раза выше темпа сдвига скачка $\varepsilon (T)$. При этом барические коэффициенты сдвига температуры ФП T_c составляют -8 ± 1 и -16 ± 1 К/кбар соответственно для σ_{xx} и σ_{yy} (рис. 3). При воздействии в направлении Z сдвиг T_c не обнаружен.

Как видно из рис. 3, при одноосном сжатии кристаллов $\text{Sn}_2\text{P}_2\text{S}_6$ по направлениям X и Y температурный интервал существования НС фазы увеличивается. Отметим, что темп уширения НС фазы при сжатии вдоль Y выше, чем при сжатии вдоль оси X . Воздействие σ_{zz} не изменяет интервал НС фазы. В целом

лением [100]. В диэлектрических измерениях в качестве контактов использовалась индий-галлиевая или серебряная паста. Температура образцов контролировалась медь-константновой термопарой с помощью компаратора напряжений с точностью 0.01 К. Скорость изменения температуры не превышала 0.2 К/мин. Точность измерения угла поворота

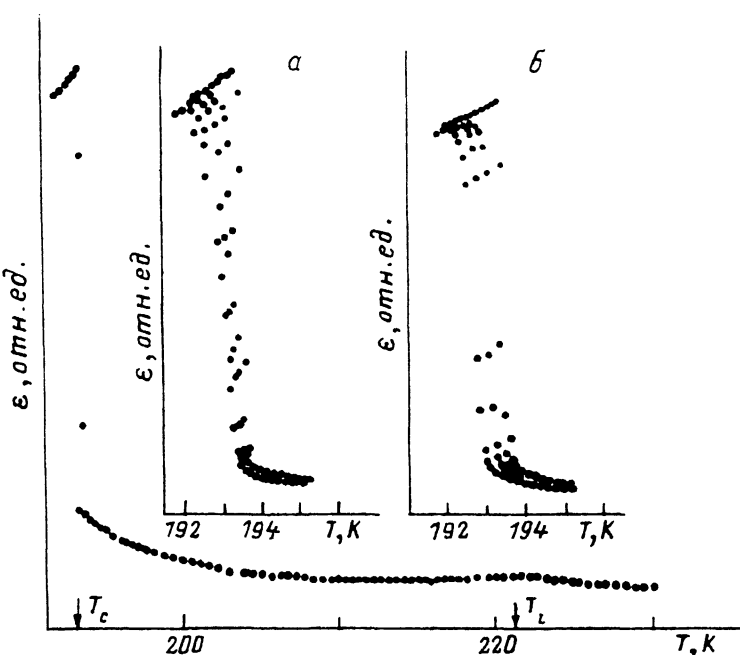


Рис. 2. Температурная зависимость диэлектрической проницаемости кристалла $\text{Sn}_2\text{P}_2\text{Se}_6$.

На вставках — в окрестности фазового перехода с несопоставимой в сегнетофазу при различных значениях одноосного сжатия σ_{ii} : а) σ_{xx} , кбар: 1 — 0, 2 — 0.023, 3 — 0.036, 4 — 0.050; б) σ_{yy} , кбар: 1 — 0, 2 — 0.019, 3 — 0.030, 4 — 0.046.

полученные данные для $\text{Sn}_2\text{P}_2\text{Se}_6$ находятся в хорошем согласии с результатами исследований влияния гидростатического сжатия на ФП в этом материале ($dT_c/dP = -24 \pm 1$ К/кбар, $dT_l/dP = -16 \pm 1$ К/кбар) [³]. Настоящие данные также согласуются с результатами рентгеноструктурных исследований [⁶], согласно которым относительное изменение межплоскостного расстояния в $\text{Sn}_2\text{P}_2\text{Se}_6$ при T_c в направлении оси X равно $1.8 \cdot 10^{-3}$ и в направлении Y — $4.3 \cdot 10^{-3}$.

Проанализируем полученные результаты в рамках феноменологического подхода. С учетом упругой части термодинамический потенциал имеет вид [⁷]

$$F = F_0 + \left(\frac{\alpha}{2} + \frac{q\sigma}{C} + \frac{\lambda\sigma\sigma}{2CC} \right) \eta^2 + \left(\frac{\beta}{4} - \frac{qq}{2C} - \frac{\lambda q\sigma}{CC} \right) \eta^4 + \gamma\eta^6. \quad (1)$$

Здесь α, β, γ — коэффициенты термодинамического потенциала; $C = C_{ijkl}$ — тензор упругих модулей; σ_{ii} — упругая сила, сопряженная деформации U ; $\alpha, \gamma, \lambda, q$ — положительные величины.

Из (1) получаем

$$T_0^\sigma = T_0 - 2q\sigma/(\alpha C),$$

где T_0^σ — температура ФП при одноосном сжатии σ_{ii} кристалла. Барический сдвиг температуры перехода при известных значениях α [⁴] и C_{ii} [⁸] позволяет определить компоненты тензора электрострикции q_{ij} . Используя полученные данные, по $dT_0^\sigma/d\sigma_{ii}$ находим, что для сегнетоэлектрика $\text{Sn}_2\text{P}_2\text{S}_6$ $q_{xx} = 4.7 \cdot 10^9$, $q_{xy} = 1.6 \cdot 10^9$ Дж·м/Кл². Согласно температурной зависимости межплоскостного расстояния в $\text{Sn}_2\text{P}_2\text{S}_6$ [²], $q_{xx} = 3.5 \cdot 10^9$ Дж·м/Кл².

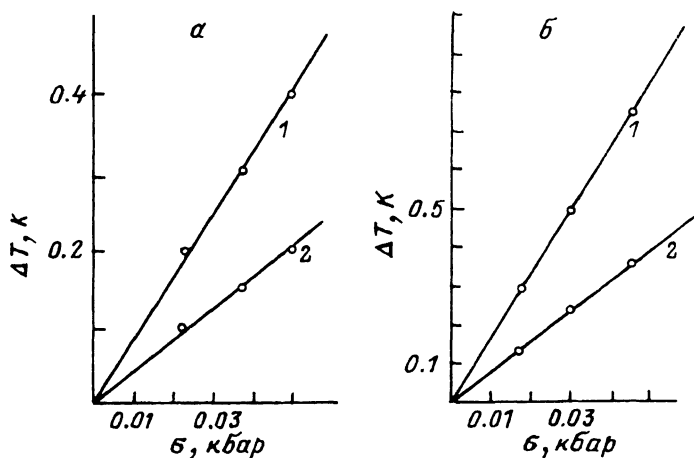


Рис. 3. Барические сдвиги температур фазовых переходов T_c (1) и T_i (2) в кристалле $\text{Sn}_2\text{P}_2\text{Se}_6$ при одноосном сжатии.

$a - \sigma_{xx}$, $b - \sigma_{yy}$.

Для анализа ФП в НС фазу в термодинамическом потенциале нужно учесть неоднородную часть

$$F_{\text{неодн}} = \frac{\delta}{2} \left(\frac{d\eta}{dz} \right)^2 + \frac{g}{4} \left(\frac{d^2\eta}{dz^2} \right)^2 + \frac{x}{2} u \left(\frac{d\eta}{dz} \right)^2. \quad (2)$$

Здесь $\delta < 0$, g и $x > 0$. Последний член позволяет описать влияние упругих сил на пространственно-неоднородное распределение параметра порядка. После минимизации полное выражение для аномальной части плотности термодинамического потенциала имеет вид

$$F = F_0 + \left(\frac{\alpha}{2} + \frac{q\sigma}{C} + \frac{\lambda\sigma\sigma}{2CC} \right) \eta^2 + \left(\frac{\beta}{4} - \frac{qq}{2C} - \frac{\lambda q\sigma}{CC} \right) \eta^4 + \gamma\eta^6 + \left(\frac{\delta}{2} + \frac{x\sigma}{C} \right) \left(\frac{d\eta}{dz} \right)^2 + \frac{g}{4} \left(\frac{d^2\eta}{dz^2} \right)^2 + \dots . \quad (3)$$

Отсюда видно, что одноосным (или гидростатическим) сжатием можно изменять значения коэффициентов α^* , β^* и δ^* при инвариантах η^2 , η^4 и $(d\eta/dz)^2$ соответственно. В [4] отмечалось, что ожидаемый переход непосредственно из пара- в сегнетофазу для кристалла $\text{Sn}_2\text{P}_2\text{Se}_6$ близок к трикритической точке. Поэтому для упрощения дальнейшего анализа воспользуемся приближением $\beta^* = 0$. При таком условии термодинамический потенциал сегнетофазы имеет вид

$$F_c = F_0 + \frac{\alpha^*}{2} \eta^2 + \gamma\eta^6. \quad (4)$$

Для НС фазы в одногармоническом приближении имеем [5]

$$F_{\text{HC}} = \frac{\alpha^*(k)}{4} \eta_k^2 + \frac{5}{96} \gamma \eta_k^6, \quad \alpha^*(k) = \alpha^* + \delta k^2 + g k^4. \quad (5)$$

После минимизации находим выражение для термодинамических потенциалов сегнетофазы

$$F_c = \frac{1}{3} \left(\frac{\alpha^{*2}}{\gamma} \right)^{1/2} \quad (6)$$

и НС фазы

$$F_{\text{HC}} = \frac{1}{3} \left(\frac{(\alpha^* - \delta^{*2}/(2g))^2}{5\gamma} \right)^{1/2}. \quad (7)$$

Таким образом, ФП второго рода из пара- в НС фазу происходит по линии

$$\alpha_1 = \delta^{*2}/(2g), \quad (8)$$

а ФП первого рода из НС в сегнетофазу образует линию α_c , которую находим из равенства потенциалов (6) и (7)

$$\alpha_c = -0.7 \delta^{*2}/g. \quad (9)$$

Так как $\delta^* = [\delta/2 + (x/c)\sigma]$, то из выражений (8) и (9) следует, что одноосное сжатие должно приводить к изменению температур переходов T_i и T_c . С использованием экспериментальных данных о сдвиге точек ФП при одноосном сжатии можно определить скорость изменения δ с ростом δ_{ii} . Привлекая необходимые сведения о термодинамических параметрах кристалла $\text{Sn}_2\text{P}_2\text{Se}_6$ из [4] и значение $dT_i/d\sigma_{ii}$, находим $d\delta/d\sigma_{xx} = 1.5 \cdot 10^{-18}$ и $d\delta/d\sigma_{yy} = 3.98 \cdot 10^{-18}$, а по данным о сдвиге T_c получаем $d\delta/d\sigma_{xx} = 1.2 \cdot 10^{-18}$ и $d\delta/d\sigma_{yy} = 2.84 \cdot 10^{-18}$ Дж·м³/Кл²·Па. Неплохое согласие между этими оценками свидетельствует о применимости потенциала (4) с учетом близости к трикритической точке (приближение $\beta^* = 0$) для описания $\sigma-T$ диаграммы кристаллов $\text{Sn}_2\text{P}_2\text{Se}_6$.

Следует отметить, что в рассмотренном нами одногармоническом приближении нельзя объяснить поведение диэлектрической проницаемости при уменьшении температуры к T_c на низкотемпературной границе и уменьшение ϵ в окрестности T_c при сжатии кристалла. Для объяснения этих фактов необходимо, по-видимому, учитывать и высшие гармоники в модуляции структуры [9, 10].

Примечательной является слабая чувствительность температур ФП в исследованных кристаллах к сжатию вдоль оси Z , вблизи которой направлен волновой вектор модуляции структуры в НС фазе. Также обращает на себя внимание изменение соотношения барических скоростей понижения критических температур при замещении серы на селен: в $\text{Sn}_2\text{P}_2\text{S}_6$ $dT_0/d\sigma_{xx} > dT_0/d\sigma_{yy}$, тогда как в $\text{Sn}_2\text{P}_2\text{Se}_6$ $dT_i/d\sigma_{xx} = dT_i/d\sigma_{yy}$ и $dT_c/d\sigma_{xx} < dT_c/d\sigma_{yy}$. Указанные факты могут быть объяснены как следствие анизотропии взаимодействия мягкой оптической ветви с акустическими. Одноосное сжатие повышает определенные упругие модули. При этом увеличиваются частоты продольных акустических фононов и при наличии их линейного взаимодействия с мягкой оптической ветвью последняя отталкивается в сторону больших энергий. Например, при ФП в НС фазу (T_c)

конденсируются при $K_z > 0$ связанные оптический и акустический фононы, обладающие в этом направлении волнового вектора одинаковой симметрией A (такому взаимодействию соответствует инвариант $h(dP_x/dz)U_{xz}$). Однако вдоль направления K_z в зоне Бриллюэна полносимметричной является и квазипротодольная акустическая ветвь, собственный вектор которой содержит деформации U_{xz} . Сжатие σ_{zz} повышает упругий модуль C_{zz} . При этом тормозится понижение частоты мягкой оптической ветви, что и является причиной очень малой величины барической скорости понижения температур ФП при таком механическом напряжении.

Таким образом, на основании результатов исследований температурных зависимостей двупреломления и диэлектрической проницаемости при различных значениях одноосного сжатия установлены σ_{ii-T} диаграммы кристаллов $\text{Sn}_2\text{P}_2\text{S}_6$ и $\text{Sn}_2\text{P}_2\text{Se}_6$, и выполнен их анализ в рамках феноменологического подхода. Обнаружены изменение анизотропии барических коэффициентов сдвига температур ФП при переходе от $\text{Sn}_2\text{P}_2\text{S}_6$ к $\text{Sn}_2\text{P}_2\text{Se}_6$ и слабое влияние одноосного сжатия вдоль оси модуляции НС фазы на температурный интервал ее существования.

Список литературы

- [1] Гомоннай А. В., Грабар А. А., Высочанский Ю. М., Беляев А. Д., Мачулин В. Ф., Гурзан М. И., Сливка В. Ю. // ФТТ. 1981. Т. 23. № 12. С. 3602—3606.
- [2] Парсамян Т. К., Хасанов С. С., Шехтман В. Ш., Высочанский Ю. М., Сливка В. Ю. // ФТТ. 1985. Т. 27. № 11. С. 3327—3331.
- [3] Сливка А. Г., Герзанич Е. И., Тягур Ю. И., Яцкович И. И. // УФЖ. 1986. Т. 31. № 9. С. 1372—1374.
- [4] Высочанский Ю. М., Майор М. М., Ризак В. М., Перечинский С. И., Сливка В. Ю., Хома М. М. // Изв. АН СССР. 1990. Т. 54. № 4. С. 677—681.
- [5] Высочанский Ю. М., Майор М. М., Ризак В. М., Сливка В. Ю., Хома М. М. // ЖЭТФ. 1989. Т. 95. № 4. С. 1355—1365.
- [6] Парсамян Т. К., Шехтман В. Ш. // Препринт ИФТТ АН СССР. Черноголовка, 1988. С. 18.
- [7] Струков Б. А., Леванюк А. П. Физические основы сегнетоэлектрических явлений в кристаллах. М.: Наука, 1983. 239 с.
- [8] Валявичюс В. В. // Автореф. канд. дис. Вильнюс, 1991. С. 16.
- [9] Головко В. А. // ЖЭТФ. 1988. Т. 94. № 2. С. 182—197.
- [10] Высочанский Ю. М., Мотря С. Ф., Перечинский С. И., Ризак В. М., Ризак И. М., Сливка В. Ю. // УФЖ. 1991. Т. 36. № 5. С. 728—732.

Ужгородский
государственный университет

Поступило в Редакцию
10 сентября 1991 г.

В окончательной редакции
12 мая 1992 г.